

Ликвидность и Теория Инвариантности

проф. Анна А. Обижаева

Российская Экономическая Школа (РЭШ)

Пермь
4 февраля 2017

Ликвидность и Финансовые Рынки

- Финансовые рынки предоставляют участникам рынка платформу, где они обмениваются рисками.
- Услуга трансфера риска не является бесплатной.
Ликвидность - это мера платы за данную услугу (fees, spread, price impact, resilience).
- Транзакционные издержки, маржинальные требования, repo haircuts.

Ликвидность и Финансовый Кризис

- Вопросы ликвидности стали особенно актуальны во время 2008-2009.
- Неликвидные активы и ликвидные пассивы банков.
Несостоятельность банков или неликвидность активов?
- Отток финансирования часто приводит к ликвидации неликвидных активов по дисконтным ценам, цепной реакции, потенциально *contagion* и коллапсу банковской системы. Разногласие в оценках ликвидности активов может осложнить работу рынка рефинансирования.
- Как можно оценивать ликвидность и управлять ей (в дополнение к capital & leverage requirements)

Реформы по ликвидности - I

Basel III - минимальные требования к ликвидности (например, более высокие требования в США):

- **LCR (liquidity coverage ratio)** - достаточность ликвидных активов для покрытия 30-дневного оттока финансирования.

$$\frac{HQLA(\text{assets}/\text{haircuts})}{30 - \text{dayNetOutflow}} > 100\%$$

Реформы по ликвидности - II

Basel III - минимальные требования к ликвидности (например, более высокие требования в США):

- **NSFR (Net Stable Funding Ratio)** - достаточность долговременного финансирования (available stable funding) для покрытия активов при их “ликвидации” с учетом дисконта ликвидности (required stable funding).
Менее рискованные активы меньше нуждаются стабильном финансировании и имеют небольшой фактор RSF. Менее стабильное финансирование имеет меньший вес ASF.

Комментарий: В формулах много “зашитых” весов, связанных с ликвидностью. Оптимальность?

Либо Эффективность Либо Надежность

- Более эффективное использование капитала (меньше буфер капитала, дешевое финансирование и инвестирование в более “прибыльные” неликвидные активы) приводит к ускорению роста экономики и большим прибылям в финансовом секторе.
- Но также делает систему менее устойчивой к шокам и внутренним дисбалансам (ошибки при инвестициях в неправильные сектора) и приводит к системным рискам.
- Приватизация прибыли и национализация убытков (risk shifting) ведет к необходимости регулирования финансового сектора (в интересах налогоплательщиков)

Чем больше мы знаем о ликвидности и изучаем нашу экономику, тем легче найти оптимальную точку в этом trade-off.

Данные

- Мониторинг - сбор агрегированных первоначальных данных (концентрация по кредиторам, валютам, датам).
Дальнейшая проверка и анализ данных регуляторами, анализ общей макро-стабильности.

Микроструктура Рынка

- область финансов, изучающая ликвидность.
- Теория (теория игр, информационная экономика) и эмпирика (мало качественных исследований по России);
- Кто занимается изучением ликвидности?
- Практики (asset managers, traders), регуляторы, сотрудники бирж и ученые.
- Микроструктура как часть финансовой экономики; эконофизика; математика, статистика и исследование операций/engineering.

Ликвидность

- Ликвидность имеет разные аспекты: спред/spread для маленьких транзакций, глубина рынка/market depth для больших транзакций, релаксация/resilience для транзакций во времени.
- Отсутствие общепризнанных моделей и определений. Например, издержки на \$1-транзакцию, на 1%ADV, на 1% капитализации, на среднюю транзакцию? в долларах или % или в единицах волатильности?
- Постоянный и временный ценные эффекты, permanent and temporary impact.
- Различные market frictions могут влиять на рынок.

Формула для издержек %Cost

Издержки $\% \text{ Cost} = F(\text{параметры рынка - объем, вола,...; размер заявки; скорость исполнения...})$;

- оценки функций для каждого инструмента или сегмента рынка по отдельности;
- ad hoc общие оценки (Barra model, работы Almgren et al);
- инвариантность микроструктуры рынка (Kyle and Obizhaeva) внутренне непротиворечивые формулы, теоретически обоснованные и зависящие от всего нескольких констант.

Эти наработки могут быть использованы для настройки регулятивных правил и стресс-тестов, но необходимы дальнейшие исследования.

Основная Проблема - Low Stat Power

Предположим, что 1% ADV двигает цену на 20 bps, а дневная волатильность 200 bps. Заявка объясняет только 1% returns variance. При правильно выбранной модели R squared будет равен 1%!

Для оценки необходимо много наблюдений об исполнении очень больших заявок.

Основная Проблема - Selection Bias

Обычно функцию транзакционных издержек сложно оценить, так как оценки обычно смещены из-за корреляции между транзакциями и изменением цен.

Заявки удаляются, если цена изменяется в неподходящем направлении, и увеличиваются, если цена изменяется в благоприятном направлении. Так как самые дорогие заявки будут не исполнены, а самые дешевые будут исполнены, то есть издержки будут казаться небольшими.

Barra Model, 1997

“Active Portfolio Management,” Richard Grinold and Ronald Kahn,
Torre’s model

$$\%Cost = \alpha_1 \cdot \sigma \cdot \sqrt{\frac{Q}{V}} + \%spread$$

Q - объем позиции в контрактах

V - средний дневной объем в контрактах

σ - дневная волатильность в процентах

$\alpha_1 = 0.5$ (или $\Delta P = 1 \cdot \sigma \cdot \sqrt{Q/V}$ для изменения цен)

Almgren Model, 2005

"Direct Estimation of Equity Market Impact," R.Almgren at el.

$$\%Cost = \frac{1}{2} \cdot \alpha_2 \cdot \sigma \cdot \frac{Q}{V} \cdot \left(\frac{cap}{V} \right)^{1/4} + \alpha_3 \cdot \sigma \left(\frac{Q}{V \cdot T_{liq}} \right)^{3/5}.$$

Q - объем позиции в контрактах

V - средний дневной объем в контрактах

cap - капитализация в контрактах

σ - дневная волатильность в процентах

T_{liq} - время ликвидации

$\alpha_2 = 0.314$ и $\alpha_3 = 0.142$.

Микроструктурная Инвариантность

“Market Microstructure Invariance,” Kyle & Obizhaeva,
Econometrica, 2016.

- Все рынки похожи, но более ликвидные рынки имеют быстрое время, а менее ликвидные рынки имеют медленное время.
- Бизнес время связано со скоростью прибытия новых идей (bets). В бизнес времени все рынки идентичны (при отсутствии market frictions), то есть идентичны долларовые риск-трансферы \tilde{I} и долларовая плата за них $C(I)$,

$$\tilde{I} = P \cdot \tilde{Q} \cdot \frac{\sigma}{\sqrt{\gamma}}, \quad C(I).$$

- где цена актива P , дневная волатильность σ , количество заявок γ в день и их размер Q .

Микроструктурная Инвариантность

- В календарном времени разные переменные (размер заявок, их количество, спред, глубина рынка, resilience) описываются разными степенными функциями от объема торгов и волатильности.

$$\gamma \sim (V \cdot P \cdot \sigma)^{2/3}$$

$$P \cdot Q \cdot \sigma \sim (V \cdot P \cdot \sigma)^{1/3}$$

- или

$$\frac{Q}{V} \sim (V \cdot P \cdot \sigma)^{-2/3}$$

Доказательство

Риск-трансфер $\tilde{I} := \frac{P \cdot \tilde{Q} \cdot \sigma}{\gamma^{1/2}}$ является инвариантом, а объем торгов $V = E|\tilde{Q}| \cdot \gamma$, поэтому получаем

$$\gamma \cdot E|\tilde{Q}| \cdot P \cdot \sigma = V \cdot P \cdot \sigma$$

и scaling laws для количества заявок в день γ и их размер Q :

$$\gamma \sim (V \cdot P \cdot \sigma)^{2/3}$$

$$P \cdot Q \cdot \sigma \sim (V \cdot P \cdot \sigma)^{1/3}$$

Инвариантность Микроструктуры Рынка

Оценка распределения размера заявок (bets). Заявки $|\tilde{Q}|/V$ распределены приблизительно лог-нормально с лог-вариацией 2.53, а количество заявок в день γ определяется как

$$\ln \gamma = \ln 85 + \frac{2}{3} \ln \left[\frac{V \cdot P \cdot \sigma}{(0.02)(40)(10^6)} \right].$$

$$\ln \left[\frac{|\tilde{Q}|}{V} \right] \approx -5.71 - \frac{2}{3} \cdot \ln \left[\frac{V \cdot P \cdot \sigma}{(0.02)(40)(10^6)} \right] + \sqrt{2.53} \cdot N(0, 1)$$

Например, для акции с дневной волатильностью 2%, ценой \$40, и дневным объемом млн акций, на рынке будет 85 bets, их медианный размер 0.33%ADV или \$132500, их среднее 1.17%ADV или \$469500, 1std 1.50%ADV. Покупки и продажи - симметричны.

Инвариантность Микроструктуры Рынка

Оценка издержек $\%Cost(V, P, \sigma, Q)$ для заявки Q :

- Linear price impact (ликвидация в естественном темпе):

$$\frac{\sigma}{0.02} \left(\frac{8.21}{10^4} \cdot \left[\frac{V \cdot P \cdot \sigma}{(0.02)(40)(10^6)} \right]^{-1/3} + \frac{2.50}{10^4} \cdot \left[\frac{V \cdot P \cdot \sigma}{(0.02)(40)(10^6)} \right]^{1/3} \frac{Q}{(0.01)V} \right).$$

- Sqrt price impact (ликвидация в естественном темпе):

$$\frac{\sigma}{0.02} \left(\frac{2.08}{10^4} \cdot \left[\frac{V \cdot P \cdot \sigma}{(0.02)(40)(10^6)} \right]^{-1/3} + \frac{12.08}{10^4} \cdot \left[\frac{Q}{(0.01)V} \right]^{1/2} \right).$$

Например, для акции с дневной волатильностью 2%, ценой \$40, и дневным объемом млн акций, исполнение 1%ADV будет иметь 2.50 bps price impact и 8.21 bps спред, всего 10.71 bps.

Dimensional Analysis and Market Microstructure Invariance

Albert S. Kyle

University of Maryland

Anna A. Obizhaeva

New Economic School

Overview

This paper combines **dimensional analysis**, **leverage neutrality**, and a principle of **market microstructure invariance** to derive scaling laws.

- Scaling laws relate transaction costs functions, bid-ask spreads, bet sizes, number of bets, and other financial variables in terms of dollar trading volume and volatility.
- These laws are tested using a data set of trades in the Russian stock market and find a strong support in the data.
- These scaling laws provide useful metrics for risk managers and traders; scientific benchmarks for evaluating issues related to high frequency trading, market crashes, and liquidity measurement; and guidelines for designing policies.

A General Picture

The scaling laws in finance can be derived using different approaches:

- Empirical conjectures and tests: Kyle and Obizhaeva (2016).
- Derived results from a dynamic equilibrium model: work in progress.
- Physicists' approach: this paper.

What Kind of Scaling Laws?

The microstructure invariance principles discussed in this paper are *not related* to power laws in the tails of probability distributions.

Instead, results describe log-linear relationships among microstructure variables related to dimensional consistency.

Example: Square-Root Model of Price Impact

$$\text{TCost}_1 = Y_1 \cdot \sigma_{1/T^{1/2}} \cdot \left(\frac{Q_S}{V_{S/T}} \right)^{1/2}$$

Note that Y is the same constant for all assets

- TCost is dimensionless. All units of time and shares cancel so that right side is also dimensionless.
- This dimensional consistency is not shared by all models.
- What other models have such consistency?

Dimensional Analysis

Physics researchers obtain powerful results by using dimensional analysis to reduce the dimensionality of problems (the size and number of molecules in a mole of gas, the size of the explosive energy, turbulence).

- **Physics:** fundamental units of mass, distance, and time & conservation laws based on laws of physics.
- **Finance:** fundamental units of time, currency, and shares & conservation laws based on no-arbitrage restrictions.

Dimensional Analysis and Physics

What is the time of oscillation T of a pendulum? Time has units of seconds [s]. Suppose time $T = f(M, L, g)$:

- mass M is in [g],
- length L is in [m],
- gravity acceleration g is in [m/s^2].

$$T = \sqrt{\frac{L}{g}} \cdot f(\text{dimensionless variables}) = \sqrt{\frac{L}{g}} \cdot f(\cdot) = \sqrt{\frac{L}{g}} \cdot \text{const.}$$

Then, use the law of conservation of energy to find a constant.

Dimensional Analysis and Finance

In financial markets, institutional investors trade by implementing speculative “bets” which move prices. A bet is a decision to buy or sell a quantity of institutional size.

Trading is costly; bets tend to move market prices.

Transaction Costs

Let $G_{jt} := g(Q_{jt}, P_{jt}, V_{jt}, \sigma_{jt}^2, C)$ denote the price impact cost as a fraction of the value traded $Q_{jt} \cdot P_{jt}$. The price impact G_{jt} is dimensionless, e.g. in basis points, and it is a function of

- bet size Q_{jt} in units of shares [s],
- stock price P_{jt} in units of dollars per share [us^{-1}],
- share volume V_{jt} in units of shares-per-day [st^{-1}],
- volatility σ_{jt}^2 in units of per-day [t^{-1}],
- bet cost $C = E\{G_{jt} \cdot Q_{jt} \cdot P_{jt}\}$ in units of dollars [u].

Dimensional Analysis

Since the value of $G_{jt} := g(Q_{jt}, P_{jt}, V_{jt}, \sigma_{jt}^2, C)$ is itself dimensionless, consistency of units implies that it cannot depend on the dimensional quantities P_{jt} , Q_{jt} , and σ_{jt}^2 .

Thus, *dimensional analysis* implies that the function $g()$ can be further simplified by writing it as function of two dimensionless variables.

$$\begin{aligned} G_{jt} &= P_{jt}^0 \cdot Q_{jt}^0 \cdot (\sigma_{jt}^2)^0 \cdot f(\text{two dimensionless variables}) \\ &= f(\text{two dimensionless variables}). \end{aligned}$$

Dimensional Analysis

There are three sets of distinct units and five dimensional quantities— Q_{jt} , P_{jt} , V_{jt} , σ_{jt}^2 , C .

Form two independent dimensionless quantities:

$$L_{jt} := \left(\frac{m^2 \cdot P_{jt} \cdot V_{jt}}{\sigma_{jt}^2 \cdot C} \right)^{1/3}, \quad Z_{jt} := \frac{P_{jt} \cdot Q_{jt}}{L_{jt} \cdot C},$$

$$L_{jt} := \left(\frac{us^{-1} \cdot st^{-1}}{t^{-1} \cdot u} \right)^{1/3}, \quad Z_{jt} := \frac{us^{-1} \cdot s}{u}.$$

where m^2 is a dimensionless scaling constant.

Dimensional Analysis

Thus, *dimensional analysis* implies that the function g can be further simplified by writing it as $g(L_{jt}, Z_{jt})$.

$$G_{jt} := g(L_{jt}, Z_{jt}).$$

Leverage Neutrality

To refine the transaction cost model further, introduce a conservation law in the form of *leverage neutrality*.

This is closely related to Modigliani-Miller equivalence, the idea that a change in leverage—the ratio of firm's debt to firm's equity—does not affect the underlying economics of the risk transfer represented by a bet of Q_{jt} shares.

Leverage Neutrality

Suppose the stock is levered up by a factor A (e.g. $A = 2$) as a result of paying a cash dividend of $(1 - A^{-1}) \cdot P_{jt}$ financed with cash or riskless debt.

- Q_{jt} does not change, and trading volume V_{jt} does not change.
- the dollar cost of the bet C does not change either.
- the ex-dividend price of a share is $A^{-1} \cdot P_{jt}$.
- σ_{jt} increases to $A \cdot \sigma_{jt}$.
- each share continues to have the same dollar risk $P_{jt} \cdot \sigma_{jt}$.

L_{jt} changes to $A^{-1} \cdot L_{jt}$ and Z_{jt} remains unchanged.

Leverage Neutrality

Percentage cost G_{jt} of executing a bet of Q_{jt} shares changes by a factor A , since dollar cost did not change but dollar value changed.

Leverage neutrality implies that $g(A^{-1} \cdot L_{jt}, Z_{jt}) = A \cdot g(L_{jt}, Z_{jt})$.

For $A = L_{jt}$:

$$g(L_{jt}, Z_{jt}) = L_{jt}^{-1} \cdot g(1, Z_{jt}). \quad (1)$$

Then, if $f(Z_{jt}) := g(1, Z_{jt})$, we get a very **important formula**:

$$G_{jt} = \frac{1}{L_{jt}} \cdot f(Z_{jt}).$$

Transaction Costs Model

A general specification for transaction costs functions consistent with the scaling implied by dimensional analysis and leverage neutrality:

$$g(Q_{jt}, P_{jt}, V_{jt}, \sigma_{jt}^2, C) = \left(\frac{\sigma_{jt}^2 \cdot C}{m^2 \cdot P_{jt} \cdot V_{jt}} \right)^{1/3} \cdot f \left(\left(\frac{\sigma_{jt}^2 \cdot C}{m^2 \cdot P_{jt} \cdot V_{jt}} \right)^{1/3} \cdot \frac{P_{jt} \cdot Q_{jt}}{C} \right).$$

It is consistent with different assumptions about the shape of the function f .

Liquid Markets

Given the choice of a constant m^2 such as $E\{|\tilde{Z}_{jt}|\} = 1$, the variables L_{jt} and Z_{jt} have an intuitive interpretation:

- $\frac{1}{L_{jt}} = \frac{C}{E\{P_{jt} \cdot |\tilde{Q}_{jt}|\}}$ is “**illiquidity index**” measuring average cost.
- $Z_{jt} = \frac{P_{jt} \cdot \tilde{Q}_{jt}}{E\{P_{jt} \cdot |\tilde{Q}_{jt}|\}}$ is “**scaled bet size**” relative to the average size.

More liquid markets are associated with more bets of larger sizes (2-to-1 ratio):

- Bet size $E\{P_{jt} \cdot |\tilde{Q}_{jt}|\} = C \cdot L_{jt}$.
- Number of bets per day $\gamma_{jt} = \frac{\sigma_{jt}^2}{m^2} \cdot L_{jt}^2$.

Market Microstructure Invariance

Extra assumptions are necessary to make our predictions operational.

- Three of the quantities—asset price P_{jt} , trading volume V_{jt} , and return volatility σ_{jt} —can be observed directly or readily estimated from public data feeds.
- Q_{jt} is a characteristic of a bet privately known to a trader.
- **Invariance:** the dollar value of C and the dimensionless scaling parameter m^2 are the same!

These assumptions are related to bet size and transaction costs invariance hypotheses. Preliminary calibration gives $C \approx \$2,000$ and $m^2 \approx 0.25$.

Transaction Costs Models

Suppose f is a power function of the form $f(Z_{jt}) = \bar{\lambda} \cdot |Z_{jt}|^\omega$.

- A proportional bid-ask spread cost ($\omega = 0$) implies

$$G_{jt} = \text{const} \cdot \frac{1}{L_{jt}}.$$

- A linear market impact cost ($\omega = 1$) implies

$$G_{jt} = \text{const} \cdot \frac{P_{jt} \cdot |Q_{jt}|}{C \cdot L_{jt}^2}.$$

- A square-root market impact cost ($\omega = 1/2$) implies

$$G_{jt} = \text{const} \cdot \sigma_{jt} \cdot \left(\frac{|Q_{jt}|}{V_{jt}} \right)^{1/2}.$$

Liquidity

Our measure of liquidity is consistent in terms of units:

$$L_{jt} := \left(\frac{m^2 \cdot P_{jt} \cdot V_{jt}}{\sigma_{jt}^2 \cdot C} \right)^{1/3} \sim \left(\frac{P_{jt} \cdot V_{jt}}{\sigma_{jt}^2} \right)^{1/3}.$$

It is the correct way to construct empirical measure of Kyle's lambda.

Illiquidity index and Amihud Measure

The linear price impact model in the spirit of Amihud (2002) and illiquidity measured as $\sigma_{jt}/(P_{jt} \cdot V_{jt})$:

$$G_{jt} = \text{const} \cdot \frac{\sigma_{jt}}{P_{jt} \cdot V_{jt}} \cdot P_{jt} \cdot |Q_{jt}|.$$

It is inconsistent unless the constant term has units equal to “per-square-root-of-time.” It is equivalent to our price impact model if the constant above is proportional to $\gamma_{jt}^{1/2}$.

Thinking about this measure as implementation of $\lambda = \sigma_V/\sigma_U$ from Kyle (1985) requires dollar volume $P_{jt} \cdot V_{jt}$ to be divided by $\gamma_{jt}^{1/2}$ to make it proportional to the standard deviation of dollar order flow imbalances.

Data

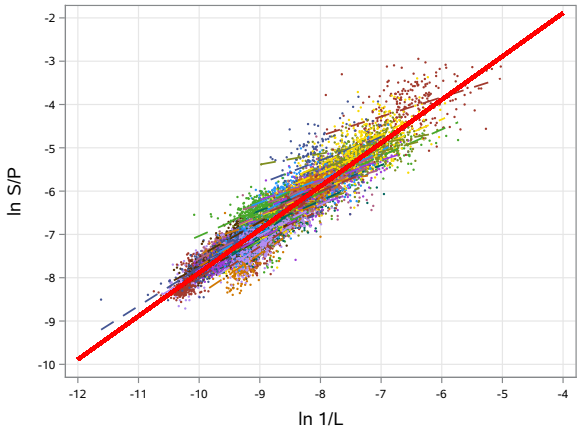
- One-minute data from the Moscow Exchange for January–December 2015 provided by Interfax Ltd.
- 50 Russian stocks in the RTS index as of June 15, 2015.
- The Russian stock market is centralized with all trading implemented in a consolidated limit-order book.
- Small tick and lot sizes.

Tests for Bid-Ask Spread

Let S_{jt} denote the bid-ask spread. Then,

$$\log \left(\frac{S_{jt}}{P_{jt}} \right) = \text{const} + \mathbf{1} \cdot \log \left(\frac{1}{L_{jt}} \right).$$

Spread: Results



In aggregate sample, the slope is close to 1! R-square is 0.876.

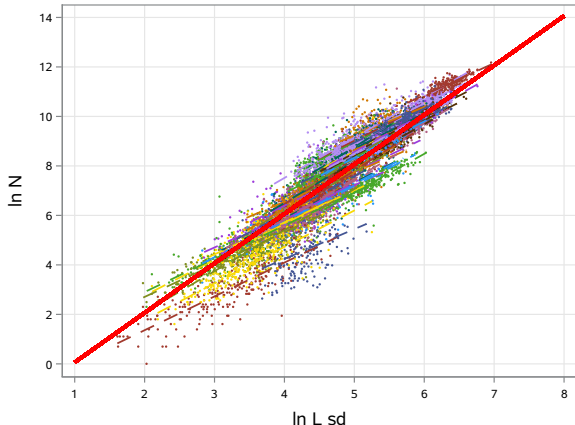
$$\log(S_{jt}/P_{jt}) = 2.093 + \textcolor{red}{0.998} \cdot \log(1/L_{jt})$$

Tests for Number of Trades

Let N_{jt} denote the number of trades and suppose $N_{jt} \sim \gamma_{jt}$. Then,

$$\log(N_{jt}) = \text{const} + \mathbf{2} \cdot \log(\sigma_{jt} L_{jt}).$$

Number of Trades: Results



In aggregate sample, the slope is close to 2! R-square is 0.882.

$$\log(N_{jt}) = -3.085 + \mathbf{2.239} \cdot \log(\sigma_{jt} L_{jt})$$

Extensions

The empirical implications of dimensional analysis, leverage invariance, and market microstructure invariance can be generalized to incorporate various trading **frictions**.

Generalized Transaction Costs Formula

Add the **execution horizon** T_{jt} (in units of time), the **tick size** K_{jt}^{MIN} (in dollars per share), and the **lot size** Q_{jt}^{MIN} (in shares).

Re-scale variables to make them dimensionless and leverage neutral using the four variables P_{jt} , V_{jt} , σ_{jt}^2 , and C :

- $\frac{|Q_{jt}|}{T_{jt}} \rightarrow \frac{|Q_{jt}|}{V_{jt} \cdot T_{jt}}$,
- $K_{jt}^{MIN} \rightarrow K_{jt}^{MIN} \cdot \frac{L_{jt}}{P_{jt}}$,
- $Q_{jt}^{MIN} \rightarrow Q_{jt}^{MIN} \cdot \frac{\sigma_{jt}^2 \cdot L_{jt}^2}{V_{jt}}$.

Generalized Transaction Costs Formula

Here is the generalized formula with three more extra variables T_{jt} , K_{jt}^{MIN} , Q_{jt}^{MIN} added:

$$G_{jt} = \frac{1}{L_{jt}} \cdot f \left(\frac{P_{jt} \cdot Q_{jt}}{C \cdot L_{jt}}, \frac{|Q_{jt}|}{V_{jt} \cdot T_{jt}}, \frac{K_{jt}^{MIN} \cdot L_{jt}}{P_{jt}}, \frac{Q_{jt}^{MIN} \cdot \sigma_{jt}^2 \cdot L_{jt}^2}{V_{jt}} \right).$$

Optimal Execution Horizon

Suppose the optimal execution horizon T_{jt}^* for an order of Q_{jt} shares depends on P_{jt} , V_{jt} , σ_{jt}^2 , C , K_{jt}^{MIN} , and Q_{jt}^{MIN} .

Since $|Q_{jt}|/(V_{jt} \cdot T_{jt}^*)$ is dimensionless and leverage neutral, the same logic implies:

$$\frac{|Q_{jt}|}{V_{jt} \cdot T_{jt}^*} = h^* \left(\frac{P_{jt} \cdot Q_{jt}}{C \cdot L_{jt}}, \frac{K_{jt}^{MIN} \cdot L_{jt}}{P_{jt}}, \frac{Q_{jt}^{MIN} \cdot \sigma_{jt}^2 \cdot L_{jt}^2}{V_{jt}} \right).$$

If tick size and lot size do not affect execution horizon, $|Q_{jt}|/(V_{jt} \cdot T_{jt}^*)$ depends only on $Z_{jt} := P_{jt} \cdot Q_{jt}/(C \cdot L_{jt})$.

Optimal Tick Size and Lot Size

Setting optimal tick size and minimum lot size is of interest for exchange officials and regulators.

Let K_{jt}^{MIN*} and Q_{jt}^{MIN*} denote optimal tick size and optimal minimum lot size, respectively.

Optimal Tick Size and Lot Size

Since the scaled optimal quantities $K_{jt}^{MIN*} \cdot L_{jt}/P_{jt}$ and $Q_{jt}^{MIN*} \cdot L_{jt}^2 \cdot \sigma_{jt}^2/V_{jt}$ are dimensionless and leverage neutral, the scaling laws for these market frictions are

$$K_{jt}^{MIN*} = \text{const} \cdot \frac{P_{jt}}{L_{jt}}, \quad Q_{jt}^{MIN*} = \text{const} \cdot \frac{V_{jt}}{L_{jt}^2 \cdot \sigma_{jt}^2}.$$

General Formula for Bid-Ask Spread

Here is a formula for bid-ask spread for the market with frictions:

$$\frac{S_{jt}}{P_{jt}} = \frac{1}{L_{jt}} \cdot s \left(\frac{K_{jt}^{MIN} \cdot L_{jt}}{P_{jt}}, \frac{Q_{jt}^{MIN} \cdot \sigma_{jt}^2 \cdot L_{jt}^2}{V_{jt}} \right).$$

If tick size and minimum lot size have no influence on quoted bid-ask spreads, then the the relationship simplifies to

$$S_{jt}/P_{jt} \sim 1/L_{jt}$$

General Formula for Trading Patterns

Here are general formulas for trade sizes \tilde{X}_{jt} and number of trades N_{jt} :

$$\text{Prob} \left\{ \frac{P_{jt} \cdot \tilde{X}_{jt}}{C \cdot L_{jt}} < z \right\} = F_{jt}^Q \left(z, \frac{K_{jt}^{MIN} \cdot L_{jt}}{P_{jt}}, \frac{Q_{jt}^{MIN} \cdot \sigma_{jt}^2 \cdot L_{jt}^2}{V_{jt}} \right).$$

$$N_{jt} = \sigma_{jt}^2 \cdot L_{jt}^2 \cdot f \left(\frac{K_{jt}^{MIN} \cdot L_{jt}}{P_{jt}}, \frac{Q_{jt}^{MIN} \cdot \sigma_{jt}^2 \cdot L_{jt}^2}{V_{jt}} \right).$$

Conclusions

There is a growing empirical evidence that the scaling laws discussed above match patterns in financial data, at least approximately.

Future research:

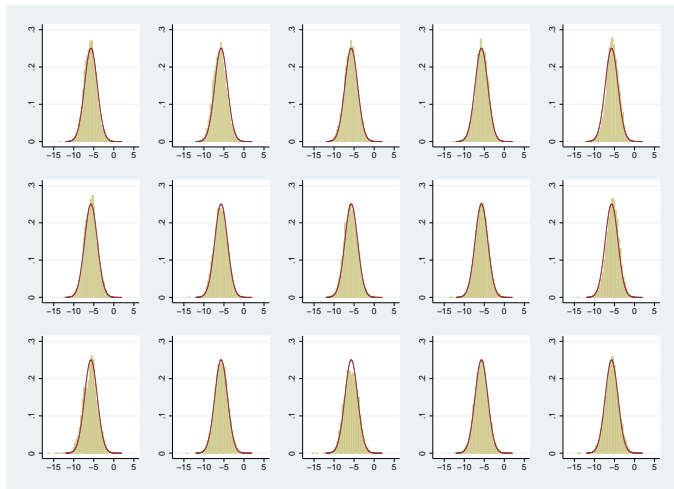
- Checking the validity of invariance predictions in other samples,
- Improving the accuracy of estimates and the triangulation of proportionality constants.

Literature

- Mark Kritzman, Albert S. Kyle, and Anna A. Obizhaeva, 2016, “A Practitioner’s Guide to Market Microstructure Invariance”, Journal of Portfolio Management.
- Albert S. Kyle and Anna A. Obizhaeva, 2016, “Market Microstructure Invariance: Empirical Hypotheses,” Econometrica.
- Albert S. Kyle and Anna A. Obizhaeva, 2016, “Dimensional Analysis and Market Microstructure Invariance.”

See my web-site <http://pages.nes.ru/aobizhaeva/research.html>

Invariant Log-Normality of Portfolio Transition Order Size



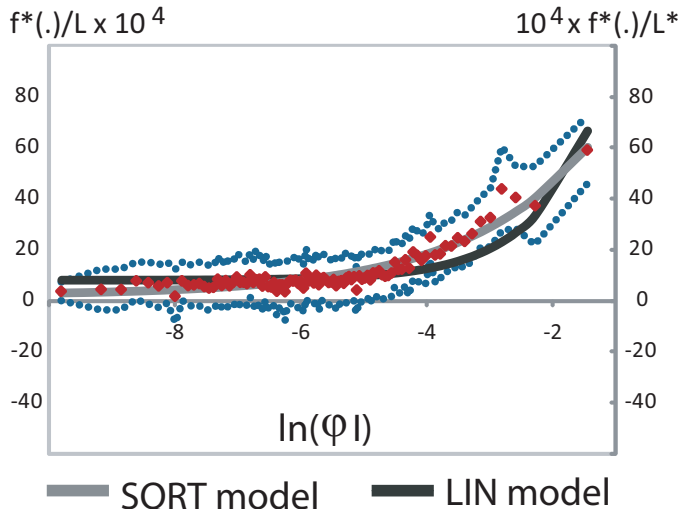
Distribution of Order Sizes

Invariance theory predicts that distribution of scaled bet sizes will be the same for all assets and times:

$$\ln \left(\frac{|\tilde{Q}|}{V} \cdot [V \cdot P \cdot \sigma]^{2/3} \right).$$

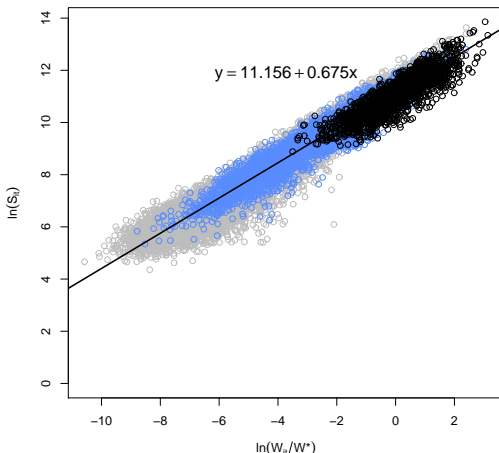
This figure shows distributions for **10 volume/5 volatility groups** for portfolio transitions data are very close to a log-normal with log-variance of 2.53.

Linear versus Square Root Model

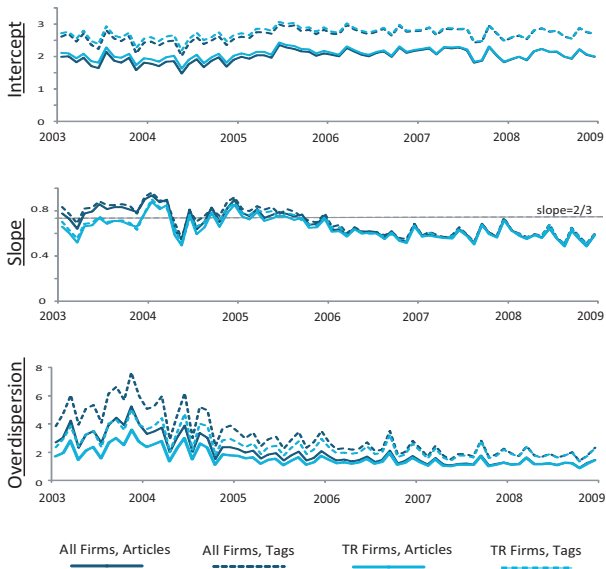


Switching Points: Korean Data

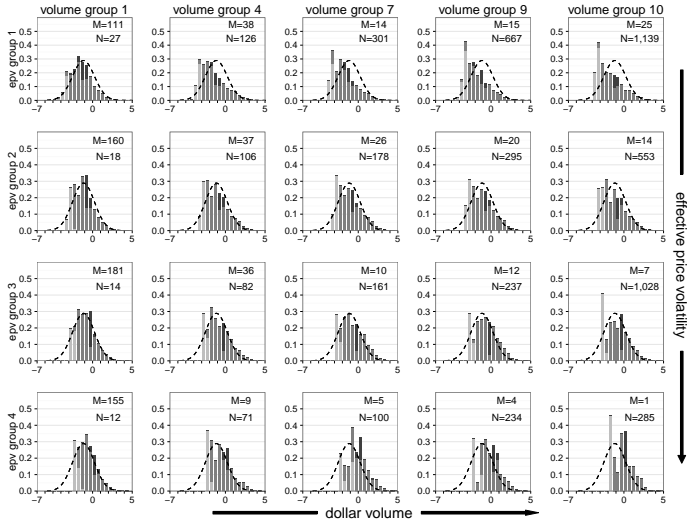
The fitted line for the regression of the number of switching points on trading activity is $\ln(S_{it}) = 11.156 + 0.675 \cdot \ln(W_{it}/W^*)$. The invariance-implied slope is $2/3$.



News Articles



NYSE TAQ Prints, 1993



Инвариантность Микроструктуры Рынка

Оценка издержек $\%Cost(V, P, \sigma, Q, T_{liq})$ для заявки Q и времени ликвидации T_{liq} :

- Общий случай для времени ликвидации T_{liq} :

$$\left(\frac{\sigma^2 \cdot C}{P \cdot V} \right)^{1/3} \cdot F \left(\left(\frac{\sigma^2 \cdot C}{P \cdot V} \right)^{1/3} \cdot \frac{P \cdot Q}{C}, \frac{Q}{V \cdot T_{liq}} \right).$$

- Как оценить более точно функцию $F()$ и константу C ?
оценка $C = \$2000$;

Риск

- Все формулы - это среднее ожидаемое изменения цен при ликвидации позиции под воздействием самих транзакций.
- Но существует также background price movements, то есть естественное изменение цен без учета транзакции.
- За время до принятия решения о закрытии позиции T и ее ликвидации T_{liq} цены изменятся на $\sigma \cdot \sqrt{T + T_{liq}}$.

Другие Сфераы Применения

- Издержки: транзакции, стратегии.
- Определение маржинальных требований.
- Определение haircuts для репо-транзакций и других операций с залогом. Если ликвидные бумаги могут быть проданы быстро и с небольшим дисконтом, то repo haircuts небольшие.
- Исследование стабильности финансовой системы (например, Office for Financial Research в США)
- Размеры монетарной/курсовой политики, QE, tapering.

Исходя из наших знаний, для всех этих оценок необходимо учитывать ликвидность рынка, размер позиций, скорость их потенциальной ликвидации (и одновременные транзакции других игроков).

Пример - Дисконт Ликвидности

$$LiquidityDiscount = \%Cost(V, P, \sigma, Q, T_{liq})$$

- V - объем, σ - волатильность, P - цена,
- Q - размер позиции, T_{liq} - время ликвидации,
- Экспирация \rightarrow автоматическая “бесплатная” ликвидация?
- Дефолт \rightarrow необходимость ускоренной ликвидации?

Пример - ставки РЕПО

$$Haircuts = \alpha \cdot \sigma \cdot \sqrt{T + T_{liq}} + \%Cost(V, P, \sigma, Q, T_{liq}) + fee$$

- T - срок контракта (O/N?),
- T_{liq} - время ликвидации, Q - размер позиции,
- V - объем, σ - волатильность, P - цена,
- $\alpha = 1.96$ - фактор безопасности (safety factor).
- NB: Волатильность может сильно увеличиться при падении цен (leverage effect)

Вопросы для исследования

- Оценка издержек в зависимости от размера позиций и времени ликвидации (*fire sales costs* для малых T) на российском рынке.
- Время $T(Q)$ за которое позиция Q может быть ликвидирована *in orderly manner* без большого *temporary impact*.
- Зависимость издержек от структуры рынка, количества участников рынка, их размеров и тд.
- Взаимосвязь между ликвидностью на “близких” рынках (например, облигации того же заемщика).
- Изучение стратегий участников рынка и мониторинг вероятности одновременной ликвидации похожих позиций.